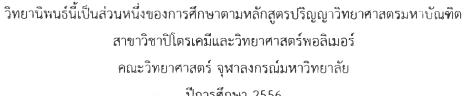


นายวิทยา ภมรวรานนท์

วิทยานิพนธ์นี้เป็นส่วนหนึ่งของการศึกษาตามหลักสูตรปริญญาวิทยาศาสตรมหาบัณฑิต สาขาวิชาปิโตรเคมีและวิทยาศาสตร์พอลิเมอร์ คณะวิทยาศาสตร์ จุฬาลงกรณ์มหาวิทยาลัย ปีการศึกษา 2556



ลิขสิทธิ์ของจุฬาลงกรณ์มหาวิทยาลัย





PREPARATION AND GLUCOSAMINE RELEASE STUDIES OF GLUCOSAMINE-LOADED CALCIUM ALGINATE-DERIVATIZED CHITOSAN PARTICLES

Mr. Wittaya Pamornwaranon

A Thesis Submitted in Partial Fulfillment of the Requirements for the Degree of Master of Science Program in Petrochemistry and Polymer Science

Faculty of Science
Chulalongkorn University
Academic Year 2013
Copyright of Chulalongkorn University



Thesis Title PREPARATION AND GLUCOSAMINE RELEASE STUDIES OF GLUCOSAMINE-LOADED CALCIUM ALGINATE-DERIVATIZED CHITOSAN PARTICLES Ву Mr. Wittaya Pamornwaranon Field of Study Petrochemistry and Polymer Science Assistant Professor Varawut Tangpasuthadol, Thesis Advisor Ph.D. Assistant Professor Pranee Rojsitthisak, Ph.D. Thesis Co-Advisor Accepted by the Faculty of Science, Chulalongkorn University in Partial Fulfillment of the Requirements for the Master's Degree Dean of the Faculty of Science (Professor Supot Hannongbua, Dr.rer.nat.) THESIS COMMITTEE (Professor Pattarapan Prasassarakich, Ph.D.) Thesis Advisor (Assistant Professor Varawut Tangpasuthadol, Ph.D.) Brance Rogs ithresh Thesis Co-Advisor (Assistant Professor Pranee Rojsitthisak, Ph.D.) D. House Examiner (Associate Professor Voravee Hoven, Ph.D.) gvan'de John'kul External Examiner

(Wanida Janvikul, Ph.D.)

วิทยา ภมรวรานนท์ : การเตรียมและการศึกษาการปล่อยกลูโคชามีนของอนุภาค แคลเชียมแอลจิเนต-อนุพันธ์ไคโทชานที่บรรจุกลูโคชามีน. (PREPARATION AND GLUCOSAMINE RELEASE STUDIES OF GLUCOSAMINE-LOADED CALCIUM ALGINATE-DERIVATIZED CHITOSAN PARTICLES) อ.ที่ปรึกษาวิทยานิพนธ์หลัก: ผศ. ดร. วราวุฒิ ตั้งพสุธาดล, อ.ที่ปรึกษาวิทยานิพนธ์ร่วม: ผศ. ดร. ปราณี โรจน์สิทธิ ศักดิ์, 57 หน้า.

อนุภาคระดับไมโครเมตรของพอลิเมอร์ธรรมชาติ เตรียมจากสารเชิงข้อนพอลิอิเล็กโทร ไลต์ของ แคลเชียม, แอลจิเนต, และไคโทซานหรือ เอ็น-บิวทิลไคโทซาน เพื่อกักเก็บกลูโคซามีน ไฮโดรคลอไรด์ซึ่งเป็นสารละลายน้ำ เอ็น-บิวทิลไคโทชานสังเคราะห์จากปฏิกิริยารีดักทีพแอลคิลเล ชันโดยใช้บิวทิรอลดีไฮด์ได้ไคโทซานที่มีระดับการแทนที่สูงถึง 46% อนุภาคที่บรรจุกลูโคซามีนมี ขนาดอยู่ในช่วง 300-400 นาโนเมตร ประจุบนผิวอนุภาคเป็นลบ ค่าความต่างศักย์ชีต้าอยู่ในช่วง -26 ถึง -29 มิลลิโวลต์ ลักษณะของอนุภาคที่มี เอ็น-บิวทิลไคโทชานล้อมรอบแอลจิเนตแสดงให้ เห็นโดยใช้กล้องจุลทรรศน์อิเล็กตรอนแบบส่องผ่าน การใช้เอ็น-บิวทิลไคโทซานที่มีระดับของหมู่ บิวทิลแทนที่สูง นำไปสู่การเพิ่มขึ้นของประสิทธิภาพการบรรจุกลูโคชามีนไฮโดรคลอไรด์สูงถึง 67% จากการศึกษาการปล่อยกลูโคซามีนพบว่ามีผลของการระเบิดออกของกลูโคซามีนใน ช่วงเวลา 3 ชั่วโมงแรก หลังจากนั้นอัตราการปล่อยช้าลงและคงที่หลังจากผ่านไป 6 ชั่วโมงใน ฟอสเฟตบัฟเฟอร์ (พีเอช 7.4) ที่อุณหภูมิ 37 องศาเชลเชียส อนุภาคที่บรรจุกลูโคชามีนถูกนำไปใช้ ผสมกับสารก่อเจลของคาโบพอล เพื่อเตรียมเป็นตำรับยาทาผิวหนัง การศึกษาการปล่อยกลูโคชา มีนผ่านการเลียนแบบผิวหนังโดยใช้เซลลูโลสแอซิเทตเมมเบรน พบว่ากลูโคซามีนปลดปล่อยอย่าง ต่อเนื่องถึงระยะเวลา 8 ชั่วโมง หลังจาก 12 ชั่วโมงผ่านไปการปล่อยกลูโคชามีนด้วยอัตราที่ช้าลง จนคงที่ นอกจากนี้ในการศึกษาเสถียรภาพทางกายภาพของอนุภาคที่บรรจุกลูโคซามีนโดยเก็บไว้ที่ อุณหภูมิห้องพบว่า ขนาดของอนุภาคจะเกิดการรวมตัวทำให้มีขนาดใหญ่ขึ้นภายในระยะเวลา 7 วัน

สาขาวิชา ปิโตรเคมีและวิทยาศาสตร์พอลิเมอร์ ปีการศึกษา 2556

ลายมือชื่อนิสิต

วิทยา ภร

825.751244n

ลายมือชื่อ อ.ที่ปรึกษาวิทยานิพนธ์หลัก

ลายมือชื่อ อ.ที่ปรึกษาวิทยานิพนธ์ร่วม โภาน ใจว่รเป็นเล

5372330623: MAJOR PETROCHEMISTRY AND POLYMER SCIENCE KEYWORDS: ALGINATE / CHITOSAN / N-BUTYL CHITOSAN / GLUCOSAMINE /

CONTROLLED RELEASE

WITTAYA PAMORNWARANON: PREPARATION AND GLUCOSAMINE RELEASE STUDIES OF GLUCOSAMINE-LOADED CALCIUM ALGINATE-DERIVATIZED CHITOSAN PARTICI ES ADVISOR: ASST PROF VARAWUT TANGPASUTHADOL, Ph.D., CO-ADVISOR: ASST. PROF. **PRANEE** ROJSITTHISAK, Ph.D., 57 pp.

Submicron biopolymeric particles prepared from polyelectrolyte complex between calcium, alginate, and chitosan or N-butyl chitosan were prepared with the aim to entrap water-soluble glucosamine hydrochloride (GH). N-butyl chitosan was synthesized by reductive alkylation using butyraldehyde, with degree of substitution (DS) of 46%. The particle size was in a range of 300-400 nm with zeta potentials of -26 to -29 mV. Transmission electron microscopy (TEM) was used to reveal N-butyl chitosan shell surrounding alginate core. Using N-butyl chitosan with high degree of butylation led to an increase in GH loading efficiency of up to 67%. GH release profile exhibited burst effect in 3 h. Then the release rate decreased slowly and reached equilibrium after 6 h of incubation in phosphate buffer pH 7.4 at 37°C. The GH-loaded particles were formulated in gel form by mixing into carbopol gel. Simulated skin permeation study of GH from particle in gel using cellulose acetate membrane with pore size 0.2 µm shown that GH was continuously released up to 8 h. After 12 h, GH was slowly released until constant. Finally, physical stability of particles in the suspension and gel containing GH-loaded particles was evaluated at room temperature. The particle size was found to be significantly larger after storing in the gel for more than 7 days, suggesting aggregation of particles.

Field of Study: Petrochemistry and

Polymer Science

Academic Year: 2013

Student's Signature William Pamerman Advisor's Signature Rome Rojsetthisch

This thesis was successfully achieved from the cooperation of many individuals. First of all, I would like to express my appreciation to my major advisor, Assistant Professor Varawut Tangpasuthadol for his valuable comments, suggestion and support given through out my study.

The another important person that i would like to express gratitude and appreciation to my co-advisor. Assistant Professor Praanee Rojsitthisak for her kindness, helpful suggestion and all support through out this work.

I wish to express my grateful thank to Associate Professor Pattarapan Prasassarakich, chairman of thesis committee, Associate Professor Voravee Hoven, examiner for their valuable advice. I also express my appreciation to Dr. Wanida Janvikul from National Metal and Materials Technology Center (MTEC), thesis external committee for her kindness and valuable comments.

The financial support for this project was provided by CU GRADUATE SCHOOL THESIS GRANT and National Research Project Management (NRPM), Office of the National Research Council of Thailand, for providing research fund. The authors also would like to thank Metallurgy and Materials Science Research Institute for providing laboratory and equipment facilities.

Finally, I would like to express my honest thanks to my friends, my family, and especially my parents for their help, cheerful, and encouragement.



Page
THAI ABSTRACTiv
ENGLISH ABSTRACTv
ACKNOWLEDGEMENTSvi
CONTENTS
LIST OF TABLES ix
LIST OF FIGURESx
LIST OF ABBREVIATIONSxii
CHAPTER I INTRODUCTION1
1.1 Statement of problem
1.2 Objectives
CHAPTER II THEORY AND LITERATURE REVIEW
2.1 Alginate and chitosan-a co-biopolymer as a drug carriers
2.2 Controlled release system
2.2.1 Diffusion controlled release
2.2.2 Swelling controlled release
2.2.3 Erosion controlled release
2.3 Glucosamine
2.4 Transdermal delivery systems
CHAPTER III MATERIALS AND METHODS
3.1 Materials
3.2 Methods
3.2.1 Synthesis of <i>N</i> -butyl chitosan (NBC)
3.2.2 Particle preparation of GH-loaded particles
3.2.3 Particles analysis
3.2.3.1 Determination of particle size and zeta potential
3.2.3.2 Morphology analysis
3.2.3.3 Evaluation of loading efficiency

	Page
3.2.3.4 Analysis of glucosamine by PITC derivatization and HPLC	18
3.2.4 Release study of GH from particles	19
3.2.5 Formulation of gel containing GH-loaded particles	19
3.2.5.1 permeation study of drug through cellulose acetate membrane	e 20
3.2.6 Stability test	21
3.2.7 Statistical analysis	21
CHAPTER IV RESULTS AND DISCUSSION	23
4.1 N-butyl chitosan synthesis – controlling N-butylation on chitosan	23
4.1.1 Structure characterization	25
4.2 Particles preparation	27
4.3 Evaluation of GH contents	30
4.4 Release study	35
4.4.1 GH release study of particles in phosphate buffer medium	35
4.4.2 In vitro drug permeation through membrane	37
4.4.2.1 Preparation of carbopol gel containing GH-loaded particles	37
4.4.2.2 GH permeation profiles	37
4.5 Stability test	39
4.5.1 Physical stability in suspension of GH-loaded particles	39
4.5.2 Physical stability of formula gel	40
CHAPTER V CONCLUSIONS	42
REFERENCES	43
APPENDIX	45
VITA	57

LIST OF TABLES

	Page
Table 3.1 Formulation of gel preparation	20
Table 4.1 Physical appearance and yield of <i>N</i> -butyl chitosan by controlling a	
proportion of butyraldehyde to amino group on chitosan	24
Table 4.2 Chemical shift (δ) of N-butyl chitosan	24
Table 4.3 Degree of substitution (DS) of butyl group on chitosan	26
Table 4.4 Characteristics of GH loaded calcium-alginate-chitosan and calcium-	
alginate-N-butyl chitosan particles	27
Table 4.5 Comparison of particle yields obtained from two particle separation	
methods	29
Table 4.6 The influence of GH:ALG mass ratio on loading efficiency of different ty	ypes
of GH-loaded particles	33
Table 4.7 The GH content, the loading efficiency of GH and the loading capacity	of
GH in the particles were determined by method I (GH:alginate weight ratio of 2.5	5:1),
all data shown were averaged from three sets of experiments	34
Table 4.8 The GH content, the loading efficiency of GH in particles was determine	ied
by method ${\it II}$ and %recovery of GH (GH:alginate weight ratio of 2.5:1). All data sh	nown
were averaged from three sets of experiments	35
Table 4.9 Initial amount of GH in 5 g of particles	35
Table 4.10 Appearance and pH of gel preparation	37
Table 4.11 Linear relationship and Flux of GH-gel, GH-ALG-CTS gel and GH-ALG-	
46%NBC gel across cellulose acetate membrane at 0-8 h	39
Table 4.12 The pH, mean particle size, and zeta potential of GH-ALG-CTS particle	es
and GH-ALG-46%NBC particles in suspension for stability tests for 60 days	40
Table 4.13 The physical appearance and GH content of gel formulation stored a	t 1st
day and 30th day	41



LIST OF FIGURES

Page
Figure 2.1 Copolymer of $lpha$ -L-guluronic acid and eta -D-mannuronic acid in alginate 3
Figure 2.2 Structure of chitin and chitosan4
Figure 2.3 Reductive alkylation mechanism of chitosan4
Figure 2.4 The effect of order of mixing on the particle size5
Figure 2.5 The effect of Ca ²⁻ : alginate mass ratio on the particle size of calcium-
alginate-poly-L-lysine (■) and calcium-alginate-chitosan (□), 0.6 mg/ml of alginate
concentration and 0.1 of cationicpolymer ratio6
Figure 2.6 The effect of cationic polymer to alginate mass ratio on the particle size of
calcium-alginate-poly-L-lysine (■) and calcium-alginate-chitosan (●), 0.6 mg/ml of
alginate concentration and 0.17 of Ca : alginate mass ratio7
Figure 2.7 Schematic of diffusion-controlled release [15]8
Figure 2.8 Schematic of swelling-controlled release [15]8
Figure 2.9 Schematic of erosion-controlled release [15]
Figure 2.10 Chemical structure of glucosamine hydrochloride10
Figure 2.11 Transdermal profile of Mediflex glucosamine cream in human
volunteers during the course of 8-hr study [20]12
Figure 2.12 Comparing the efficiency of Mediflex Medister glucosamine cream and oral
delivery of glucosamine into blood of adult mice [20]
Figure 3.1 Synthesis of N-butyl chitosan
Figure 3.2 Derivatization of glucosamine
Figure 3.3 The components of Franz diffusion cell cell [23] (a) and instrument setup
for permeation study (b)22
Figure 4.1 ¹ H NMR spectra of <i>N</i> -butyl chitosan25
Figure 4.2 Transmission electron micrographs of particles: (a) GH-ALG-CTS and (b) GH-
ALG-46%NBC stained by phosphotungstic acid; (c) GH-ALG-CTS and (d) GH-ALG-
46%NBC stained by 1% uranyl acetate



	Page
Figure 4.3 SEM micrographs of separated components after centrifugation usin	g
centrifugal filter tube (A) filtrate and (B) filtered solid	30
Figure 4.4 Reaction mechanism of phenylthiocarbonyl-glucosamine synthesis f	from
glucosamine and phenylisothiocyanate	31
Figure 4.5 ¹ H NMR spectrum of phenylthiocarbonyl-glucosamine	32
Figure 4.6 A HPLC chromatrogram of 500 µg/ml phenylthiocarbonyl-glucosami	ne at
flow rate 1.5 ml/min with retention time 5.866	32
Figure 4.7 Comparison of cumulative GH release percentage from the particles	s having
different butyl content of chitosan (GH: alginate weight ratio =2.5: 1)	36
Figure 4.8 Permeation profiles of 1%GH-gel, GH-ALG-CTS gel and GH-ALG-46%I	NBC gel
across cellulose acetate membrane, a magnified plot of the first 8 h of incuba	ation is
also shown	38
Figure 4.9 Comparison of %cumulative GH release of 1% GH-gel, GH-ALG-CTS	gel and
GH-ALG-46%NBC gel across cellulose acetate membrane	39
Figure 4.10 Photographs of gel formulation stored at 1st day and 30th day; A)	1%GH-
gel, B) GH-ALG-CTS gel and C) GH-ALG-46%NBC	41

: alginate

CTS

: chitosan

GH

: glucosamine hydrochloride

GAGs

: glycosaminoglycans

NBC

: N-butyl chitosan

TMC

: N,N,N-trimethylammonium chitosan chloride

GTMAC

: glycidyl-trimethyl-ammonium chloride

HTCC

: N-[(2-hydroxyl-3-trimethylammonium)propyl]chitosan chloride

EtOH

: ethanol

MeOH

: methanol

ACN

: acetonitrile

TFA

: trifluoroacetic acid

PBS

: phosphate buffer saline

PA

: phosphotungstic acid

UA

: uranyl acetate

PITC

: phenylisothiocyanate

TGC

: transdermal glucosamine cream

PTFE

: polytetrafluoroethylene

DD

: degree of deacetylation

DS

: degree of substitution

LE

: loading efficiency

LC

: loading capacity

MW

: molecular weight

MWCO

: molecular weight cutoff

eq

: equivalent

SD

: standard deviation

PDI

: polydispersity index



: Nuclear magnetic resonance spectroscopy

TEM

: Transmission electron microscopy

SEM

: Scanning electron microscopy

DLS

: Dynamic light scattering

HPLC

: High performance liquid chromatography

 $\cup \vee$

: ultra violet

kDa

: kilo dalton

h

: hour

min

: minute

S

: second

8

: gram

mg

: milligram

hg

: microgram

ml

: milliliter

μί

: microliter

cm

: centimeter

mm

: millimeter

nm

: nanometer

 $^{\circ}$ C

: degree Celsius

٥_F

: degree Fahrenheit

ppm

: part per million

m٧

: millivolt

M

: molar

rpm

: round per minute

рΗ

: power of hydrogen ion or the negative logarithm (base ten)

F

: flux

Qp

: Cumulative amount of drug permeated through a unit area of

membrane

 $C_{\text{G-1}}$: concentration of glucosamine

V : volume

A : area

w/w : weight/weight

v/v : volume/volume

% : percentage

